

گسترش برون تن سلول‌های بنیادی خونساز خون بند ناف بر روی نانوداربست الکترواسپاین پوشیده شده با کالاژن-فیبرونکتین

مریم اسلامی^۱، دکتر یوسف مرتضوی^۲، دکتر مسعود سلیمانی^۳، دکتر فاطمه سلیمانی فر^۴، دکتر صمد ندری^۵
دکتر سیمز رحیم زاده^۶، دکتر مریم درویش^۷

نویسنده‌ی مسئول: دکتر یوسف مرتضوی، گروه بیوتکنولوژی و نانوفناوری پزشکی، دانشگاه علوم پزشکی زنجان، زنجان، ایران youmort@yahoo.com
دریافت: ۹۶/۶/۲۸ پذیرش: ۹۷/۶/۲۸

چکیده

زمینه و هدف: پیوند مغز استخوان یک رویکرد درمانی در درمان بیماری‌های بدخیم و غیر بدخیم خونی است. سلول‌های بنیادی خونساز بند ناف به دلیل مزایایی جون سهولت دستیابی و در دسترس بودن، عدم وجود خطر برای اهدافنده‌گان، پاسیون تر بودن میزان آلودگی و... جایگزین مناسبی برای سلول‌های بنیادی خونساز مغز استخوان می‌باشند. محدودیت اصلی در استفاده از آنها، مقدار کم این سلول‌ها به دلیل حجم کم خون بند ناف است. هدف از این مطالعه گسترش سلول‌ها در محیط شبیه سازی شده ریز محیط بافت طبیعی در آزمایشگاه بود که یکی از راهکارها جهت غلبه بر این محدودیت است.

روش بررسی: به منظور غلبه بر محدودیت تعداد سلول‌های بنیادی خونساز، و با در نظر گرفتن اهمیت توپوگرافی و شیمی سطح بستر سلول‌های MACS با روش $CD133+$ جداسازی شده و میزان خلوص سلول با فلوسایتمتری بررسی شد. سپس سلول‌های $CD133+CD133+$ بر روی بستر نانوالیاف $PLLA$ کوژنرگه شده با کالاژن-فیبرونکتین، محیط سه بعدی ($PLLA$) و محیط دو بعدی کشت داده شدند.

یافته‌های نتایج حاصل از فلوسایتمتری نشان داد که سلول‌های $CD133+$ جداسازی شده دارای درصد خلوص مناسبی جهت انجام مراحل بعدی کار می‌باشند. مقایسه بین گروه‌های مورد مطالعه نیز نشان داد که سلول‌های کشت شده در گروه سه بعدی پوشیده شده با کالاژن-فیبرونکتین میزان تکثیر بالاتری نسبت به داربست $PLLA$ و سیستم معمول کشت سلولی (کشت دو بعدی) دارد ($P < 0.0001$). همچنین قادرت کلینی‌زایی و زیست سازگاری نیز در این گروه بیشتر است ($P < 0.05$).

نتیجه گیری: نتایج این مطالعه نشان می‌دهد که پوشاندن داربست سه بعدی $PLLA$ با کالاژن-فیبرونکتین، سیستم مناسبی را به منظور تکثیر سلول‌ها با حداقل تمايز در محیط خارج از بدن فراهم می‌آورد.

وازگان کلیدی: خون بند ناف، سلول‌های $CD133+PLLA$ ، محیط سه بعدی

-
- ۱- دانشجوی دکترای تخصصی بیوتکنولوژی پزشکی، گروه بیوتکنولوژی و نانوفناوری پزشکی، دانشگاه علوم پزشکی زنجان، زنجان، ایران.
 - ۲- دکترای تخصصی خون شناسی، استاد همتاولوژی، گروه بیوتکنولوژی و نانوفناوری پزشکی، دانشگاه علوم پزشکی زنجان، زنجان، ایران
 - ۳- دکترای تخصصی خون شناسی، استاد همتاولوژی، مرکز تحقیقات ژن درمانی سرطان، دانشگاه علوم پزشکی زنجان، زنجان، ایران
 - ۴- دکترای تخصصی خون شناسی، دانشیار دانشکده پزشکی، دانشگاه تربیت مدرس، تهران، ایران
 - ۵- دکترای تخصصی بیوتکنولوژی پزشکی، استادیار مرکز تحقیقات مکمل‌های غذایی و پروپیوتیک، دانشگاه علوم پزشکی البرز، کرج، ایران
 - ۶- دکترای تخصصی نانو فناوری پزشکی، دانشیار گروه بیوتکنولوژی و نانوفناوری پزشکی، دانشگاه علوم پزشکی زنجان، زنجان، ایران
 - ۷- دکترای تخصصی نانو فناوری پزشکی، استادیار گروه مهندسی بافت و پزشکی بازیافتی، دانشکده فناوری‌های نوین پزشکی، دانشگاه علوم پزشکی شهید بهشتی، تهران، ایران
 - ۸- دکترای تخصصی بیوتکنولوژی پزشکی، استادیار بیوتکنولوژی پزشکی، دانشگاه علوم پزشکی اراک، اراک، ایران

مقدمه

کاهش رد ایمنولوژیک پیوند و GVHD به علت عدم T بالغ در خون بند ناف. اما دارای معایبی نیز می‌باشد که عبارتند از: عدم تجربه کافی در خصوص پیوند خون بند ناف، آلدگی UCB با سلول‌های مادری طی جمع آوری خون، محدودیت و تعداد کم سلول‌های بنیادی در هر واحد خون بند ناف (۳-۶)؛ که مورد آخر اصلی‌ترین محدودیت در به کارگیری این سلول‌ها برای اهداف درمانی می‌باشد. برای غلبه بر این محدودیت، روش‌های متعددی به کار گرفته شده است که از جمله‌ی آنها کشت و تکثیر سلول‌ها در محیط آزمایشگاه می‌باشد. دو فاکتور بستر محیط کشت (دوبعدی یا سه بعدی) و برهمکنش سلول-بستر و محیط کشت، اهمیت بسزایی در این فرآیند دارند. برای انتخاب نوع بستر و محیط کشت، توجه به این مساله که نیچ طبیعی HSC‌ها (مغز استخوان) دارای ساختاری سه بعدی می‌باشد، به طور چشمگیری در کارکرد بیولوژیکی سلول‌ها موثر است. همچنین اکسیژن، مواد غذایی و فضا را برای رشد سلول‌ها فراهم می‌کند، این امر ما را به انتخاب داربست‌های سه بعدی به عنوان گزینه مناسبی که توپوگرافی بستر محیط کشت را شبیه سازی کنند سوق می‌دهد (۷). علاوه بر سه بعدی بودن نیچ طبیعی HSC‌ها، ارتباط سلول‌ها با یکدیگر و ماتریکس خارج سلولی (ECM) نیز در برهمکنش سلول-بستر و محیط کشت تاثیرگذار می‌باشند. البته عوامل گوناگون دیگری چون جدول زمان بندی تعویض محیط کشت، حضور و عدم حضور سرم، تعداد سلول‌های منتقل شده به ظروف کشت و... نیز بر روند تکثیر تاثیرگذار می‌باشند.

در این راستا، استفاده از داربست مهندسی شده زیست تخریب پذیر که بستر مناسبی را جهت تکثیر و گسترش HSC‌ها در محیط آزمایشگاه فراهم کند دارای اهمیت بسزایی می‌باشد. در این مطالعه گسترش سلول‌های بنیادی CD133+ خون بند ناف که پیش ساز نبالغ

یکی از پرکاربردترین و موفقیت‌آمیزترین زمینه‌های به کارگیری سلول‌های بنیادی خونساز (HSC)، کاربرد آنها برای درمان ناهنجاری‌های خونی بدخیم و غیربدخیم می‌باشد. یک سلول بنیادی خونساز، سلول تمایز نیافته چند توان با توانایی تکثیر، خودنوزایی و تولید رده‌های مختلف خونی می‌باشد که این سلول‌ها معمولاً توازن بین خودنوزایی و تمایز را حفظ می‌کنند. منابع سلول‌های بنیادی خونساز عبارتند از: مغز استخوان، خون محیطی، کبد جنین و خون بند ناف (۱). اولین پیوند مغز استخوان توسط تزریق ترکیبات سلولی حاصل از مغز استخوان صورت گرفت و سوسپانسیون استخوانی تزریق شده شامل مجموعه هتروژنی از جمعیت‌های اصلی سلول‌های بنیادی خونساز بود. اما عدم دهنگان مناسب با تجانس HLA بالا و بروز واکنش پیوند علیه میزان (GVHD) در گیرنده‌ی پیوند، از محدودیت‌های به کارگیری HSC‌های منتج از این منع است (۲).

منبع دیگر، خون بند ناف (UCB) است که در جفت و بند ناف وجود دارد و مسئول تغذیه‌ی جنین می‌باشد. این منع با وجود اینکه غنی از HSC‌ها و مقادیر زیادتر سلول بنیادی/پیش ساز (HPSC) در مقایسه با خون محیطی است، معمولاً پس از تولد دور ریخته می‌شود. هر دو این سلول‌ها (HPSC و HSCs)، قدرت خودنوزایی دارند و HSC محتوای سلول‌های بنیادی را در فرد حفظ می‌کنند. های خون بند ناف در مقایسه با مغز استخوان واجد مزایای زیر است: سهولت جمع آوری و در دسترس بودن، عدم ریسک و یا خطر برای مادر/ نوزاد، عدم آلدگی خون بند ناف به ویروس‌هایی چون سیتوگالو ویروس (CMV)، ویروس اپشتاین بار (EBV) و عدم هر نوع ویروس و عفونتی دیگر که قابلیت انتقال دارد، کاهش پاسخ سلول‌های T و B در خون بند ناف در مقایسه با فرد بالغ و نهایتاً

شده از ستون را با 10×10 میکرومتر آنتی بادی $-CD133+$ PE(Miltenyi Biotech USA) انکوبه نموده و سپس با دستگاه فلوسایتومتری (Beckton Dickinson, USA) میزان خلوص سلول‌های $+CD133$ جدا شده مورد بررسی قرار گرفت.

آماده سازی محیط کشت: محیط کشت مورد استفاده جهت تکثیر سلول‌ها، محیط Stemline II همراه با ($100 \text{ }\mu\text{g}$ SCF ۱۰۰ نانوگرم بر میلی لیتر (Flt3)، $100 \text{ }\mu\text{g}$ بر میلی لیتر Tpo) بود.

کشت سلول‌ها در ظروف کشت پلاستیکی (TCPS): حدود 5×10^4 سلول $+CD133$ همراه با $250 \text{ }\mu\text{l}$ میکرولیتر محیط کشت حاوی فاکتورهای رشد به هر چاهک پلیت ۲۴ خانه پلی استرینی اضافه و سپس پلیت به مدت ۷ روز در دمای 37°C درجه سانتی گراد با CO_2 ۵ درصد انکوبه شد.

محیط‌ها هر ۲ تا ۳ روز یک بار تعویض گردید. آماده سازی داربست: جهت ساخت نانو الیاف PLLA از فرآیند الکتروریسی استفاده شد. ابتدا پلی ال لاتکتیک اسید در ۹ سی سی کلروفرم ۹ درصد وزنی/وزنی و ۱ سی سی محلول N,N-دی متیل (DMF) در دمای اتاق با سرعت 100 rpm دور در دقیقه روی همزن به مدت ۴ ساعت حل و همگن شد. سپس محلول به داخل سرنگ کشیده شد و پس از هواگیری در انتهای پمپ قرار گرفت تا رسیندگی بر روی آن انجام گیرد. ولتاژ به کار رفته ۲۲ کیلوولت و فاصله‌ی نازل تا جمع کننده $23 \text{ }\mu\text{m}$ سانتی متر تنظیم شده بود. سطح جمع کننده با ورقه‌ی نازک آلومینیومی پوشانده شد و الیاف بر روی پوشش آلومینیومی جمع آوری گردید. صفحات نانو الیافی تولید شده به مدت یک روز در آون خلا نگهداری و حلال زدایی شدند. ارزیابی داربست‌ها با میکروسکوپ الکترونی روبشی (SEM):

برای ارزیابی ساختار داربست سلولی، بررسی میزان تکثیر و اتصال سلول‌ها، داربست سلولی از روز صفر به عنوان یک

سلول‌های خونی می‌باشد، بر روی داربست سه بعدی زیست تخریب پذیر پلی ال لاتکتیک اسید که تخریب آن سبب تولید اسید لاتکتیک می‌شود صورت گرفت. جهت شیوه سازی ماتریکس خارج سلولی (ECM) که در برهمکنش سلول-بستر محیط کشت دخیل است سطح داربست‌ها قبل از گسترش با ترکیب کلژن-فیرونکتین مهندسی شدند (۹-۱۵).

روش بررسی

این مطالعه از نوع تجربی بود و با کد اخلاقی zums.Rec.1394.35 در شورای پژوهشی دانشگاه علوم پزشکی زنجان پذیرفته شد.

جداسازی سلول‌های تک هسته‌ای (MNC) خون بندناف: نمونه‌های خون بند ناف از مادران باردار که ۹ ماه بارداری را سپری کرده و به روش طبیعی زایمان کرده بودند، بعد از گرفتن رضایت نامه کتبی تهیه گردید. جهت جداسازی MNC، نمونه خون به نسبت ۱:۶ با هیدروکسی اتیل استارچ (HES) رقیق و به مدت ۱ ساعت در دمای محیط زیر ۰°C قرار داده شد. سپس مایع رویی حاصل از این مرحله بر روی فایکول با غلظت $1/0.77$ گرم بر میلی لیتر (سیگما) به نسبت ۱:۲ انتقال داده شد و پس از سانتریفوژ، MNC‌ها جداسازی شدند.

جداسازی سلول‌های $+CD133$ از MNC‌ها: جداسازی سلول‌های $+CD133$ از MNC‌ها در مرحله‌ی قبل: به منظور جداسازی سلول‌های $+CD133$ ، سلول‌های جدا شده با $100 \text{ }\mu\text{l}$ میکرولیتر آنتی بادی $+CD133$ Nشان دار شده با ذرات آهن (Miltenyi Biotech USA) انکوبه گردید و پس از سانتریفوژ و شست و شوی رسوب حاصل، با استفاده از ستون MACS (Miltenyi Biotech USA) سلول‌های $+CD133$ جداسازی شدند.

آنالیز فلوسایتومتری: به منظور تایید و تعیین میزان خلوص سلول‌های عبور داده شده از ستون MACS، سلول‌های جدا

بررسی میزان کلنج زایی: به منظور بررسی میزان کلنج زایی، سلول‌های کشت شده در روز صفر و سلول‌های کشت شده در روز ۷، حدود $10^4 \times 10^4$ سلول به حدود ۲ میلی‌لیتر محیط methocult افزوده شد و با استفاده از ورتكس کاملاً مخلوط گردید. مخلوط حاصل در پتری دیش ۳۵ میلی‌لیتری ریخته شد و سپس این پلیت همراه با دو پلیت حاوی آب دیونیزه در یک پلیت 100 ml میلی‌لیتری به مدت ۷ روز در انکوباتور 37°C درجه سانتی‌گراد و 5 CO_2 درصد نگهداری گردید. با استفاده از میکروسکوپ معکوس،

کلنج‌های حاصل بررسی و شمارش شدند.

آزمون MTT: در این روش، ابتدا تعداد مناسبی سلول (ترجیحاً 3000 سلول در هر چاهک) در هر یک از چاهک‌های حاوی داربست کشت داده شد تا سلول‌ها به مدت ۷ روز تکثیر شده و به حالت پایدار خود درآیند. در ادامه پس از گذشت $3, 5$ و 7 روز انکوباسیون محیط کشت رویی دور ریخته شد. به هر چاهک 200 ml میکرولیتر محیط کشت حاوی $0/5 \text{ ml}$ گرم در میلی‌لیتر محلول MTT اضافه گردید و به مدت $2 \text{ تا } 4$ ساعت در انکوباتور CO_2 در 37°C درجه سانتی‌گراد قرار داده شد. کریستال‌های فورمازان در آب غیر محلول بوده و باقیتی قابل ارزنجی توسط ماده حلali نظری DMSO به حالت محلول درآیند. در نهایت جذب نوری محلول به دست آمده در طول موج 570 nm قرائت گردید و به کمک منحنی استاندارد تعداد سلول‌ها محاسبه شد. آنالیز آماری: تمامی تست‌ها سه بار تکرار شدند. آنالیز آماری GraphPad (PRISM V 5.0 one-way analytical Software) با استفاده از نرم افزار ANOVAs انجام گرفت.

یافته‌ها

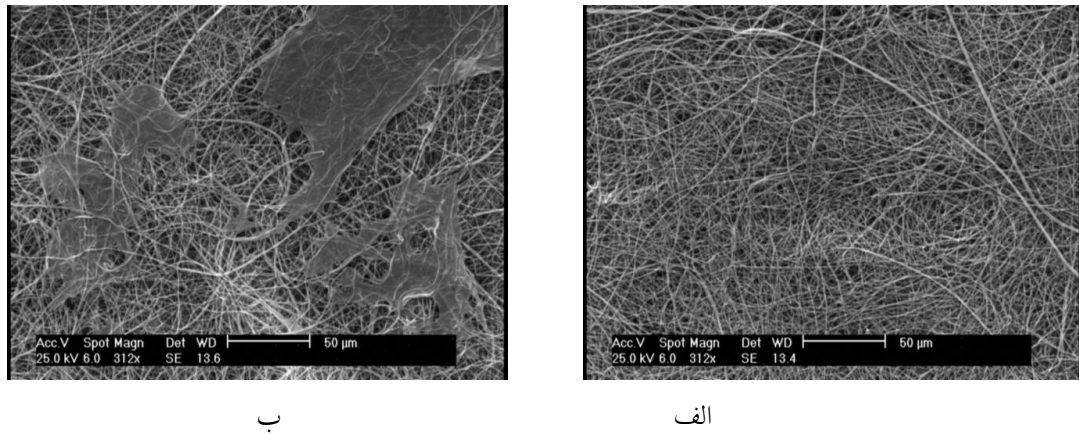
ارزیابی خواص فیزیکی داربست با استفاده از

کترل و روز ۷ داربست پوشیده شده با کلژن-فیرونکتین برای SEM آماده شد. برای این منظور، نخست سطح داربست‌های حاوی سلول با فسفات شست و شو داده شدند و سپس در گلوترالدئید $2/5$ درصد به مدت ۱ ساعت فیکس شدند. سپس به منظور حذف رطوبت و دهیدراته نمودن، داربست‌ها در شب غلظت الكل قرار داده شده و خشک شدند؛ سطح نمونه‌ها با ضخامتی حدود 12 nm طلا پوشش داده شدند. نمونه‌های پوشش‌دار با استفاده از SEM مورد بررسی قرار گرفتند.

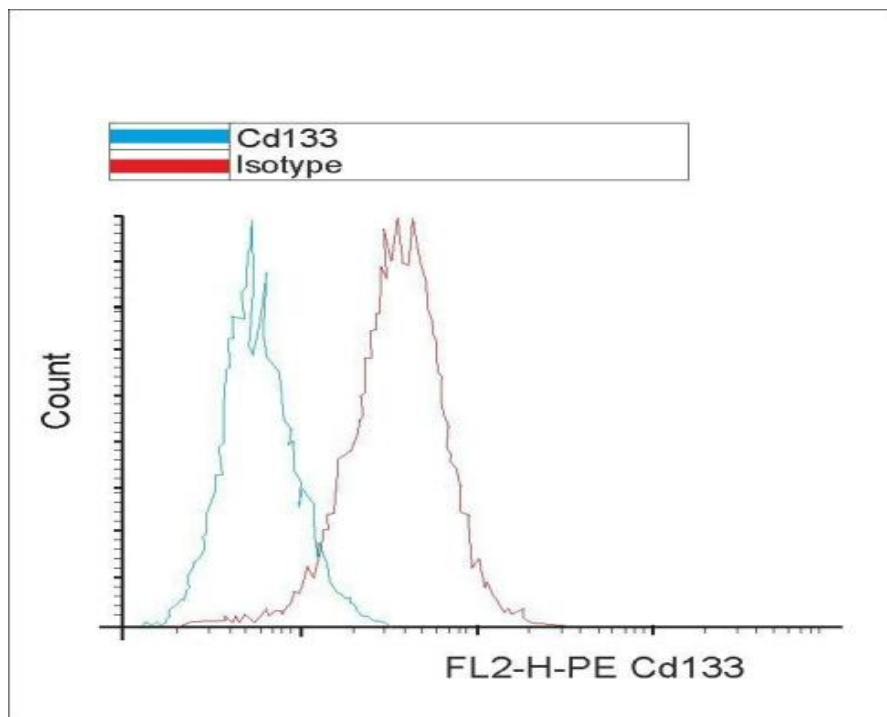
کشت سلول‌ها بر روی داربست پلی‌ال‌لاکتیک اسید (PLLA) سه بعدی: نخست داربست PLLA پس از پلاسمای شدن به مدت 180 ثانیه، در اتانول 70 درصد غوطه‌ور و سپس با PBS شست و شو داده شد، بعد از آن در معرض اشعه UV قرار گرفت و به مدت 24 ساعت خشک شد و در انتهای استریل گردید. سپس مطابق با چاهک‌های پلیت، 24 خانه پانچ شدند و پس از قرار گرفتن در خانه‌های پلیت، با محلول EDC/NHS به مدت 24 ساعت در یخچال برای ایجاد لنگرگاه پروتئین‌ها انکوبه شدند. سپس با کلژن با غلظت 1 ml/g بر میلی‌لیتر به مدت 24 ساعت در دمای 4°C درجه سانتی‌گراد پوشانده شدند. بعد از این مدت کلژن‌ها از روی داربست‌ها برداشته شدند و سطح داربست با فیرونکتین با غلظت 1 ml/g بر میلی‌لیتر به مدت 24 ساعت در دمای 4°C درجه سانتی‌گراد پوشانده شد. در ادامه فیرونکتین از روی داربست برداشته و حدود 5×10^4 سلول CD133+ همراه با 300 ml میکرولیتر محیط کشت حاوی فاکتورهای رشد به چاهک‌های پوشانده شده با کلژن-فیرونکتین افزوده شد. سپس پلیت به مدت 7 روز در دمای 37°C درجه سانتی‌گراد با 5 CO_2 درصد انکوبه شد. محیط‌ها هر $2 \text{ تا } 3$ روز یک بار تعویض گردید. در گروه کترل، سلول‌ها بر روی داربست‌های PLLA بدون پوشش پروتئینی کشت شدند.

تخلخل‌های داربست در اندازه‌ی نانو هستند که باعث می‌شود نسبت سطح به حجم در این مقیاس افزایش یافته و به همین نسبت قدرت اتصال سلول‌ها افزایش یابد.

میکروسکوپ الکترونی پویشی (SEM): نتایج شکل ۱ نشان داد که داربست PLLA دارای ساختاری متخلخل، یکنواخت با حفره‌های مرتبط می‌باشد. این ویژگی آنها را برای استفاده در مهندسی بافت مناسب می‌سازد. همچنین حفره و



شکل ۱: تصاویر میکروسکوپ الکترونی رویشی (SEM). الف: داربست نانو الیاف PLLA قبل از گسترش سلول. ب: تصویر سلول‌های کشت شده در حالت ۳D ۷ روز هفتم.

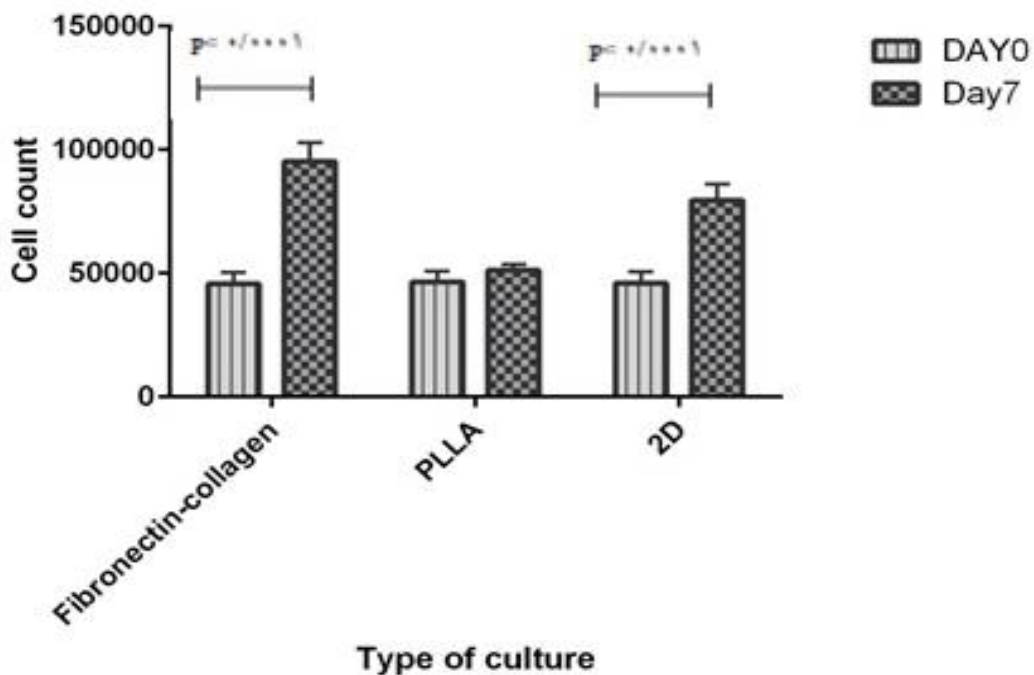


شکل ۲: نتیجه فلوسایتومتری سلول‌های کشت شده بر روی داربست PLLA پوشیده شده با کلاژن-فیبرونکتین

داربست PLLA، محیط کشت دو بعدی: پس از گذشت ۷ روز، سلول‌های CD133+ شناور موجود در سه محیط، مورد شمارش قرار گرفتند. تعداد سلول‌ها به ترتیب در محیط کشت داربست PLLA پوشیده شده با کلاژن-فیبرونکتین، داربست PLLA و محیط کشت دو بعدی به ترتیب $1/1$ ، $1/4$ و $2/1$ فواد افزایش نشان دادند. در داربست PLLA پوشیده شده با کلاژن-فیبرونکتین و محیط کشت دو بعدی اختلاف معناداری در تعداد سلول‌ها در روز صفر و ۷ وجود داشت ($P < 0.0001$). (شکل ۳).

آنالیز فلوسایتومتری: تایید سلول‌های CD133+ خون بند ناف که توسط تکنیک MACS جدا سازی شدند با استفاده از فلوسایتومتری انجام شد. درصد خلوص قبل از کشت PLLA ۹۳ درصد و بعد از کشت بر روی داربست‌های PLLA پوشیده شده با کلاژن-فیبرونکتین، بعد از ۷ روز $\frac{۷۸}{۲}$ درصد بود (شکل ۲). (درصد خلوص پس از کشت بر روی داربست PLLA و محیط دو بعدی به ترتیب $\frac{۵۷}{۴}$ درصد و $\frac{۳۵}{۶}$ درصد (۱۱).

گسترش سلول‌های **CD133+** بر روی داربست **PLLA** پوشیده شده با کلاژن-فیرونکتین،

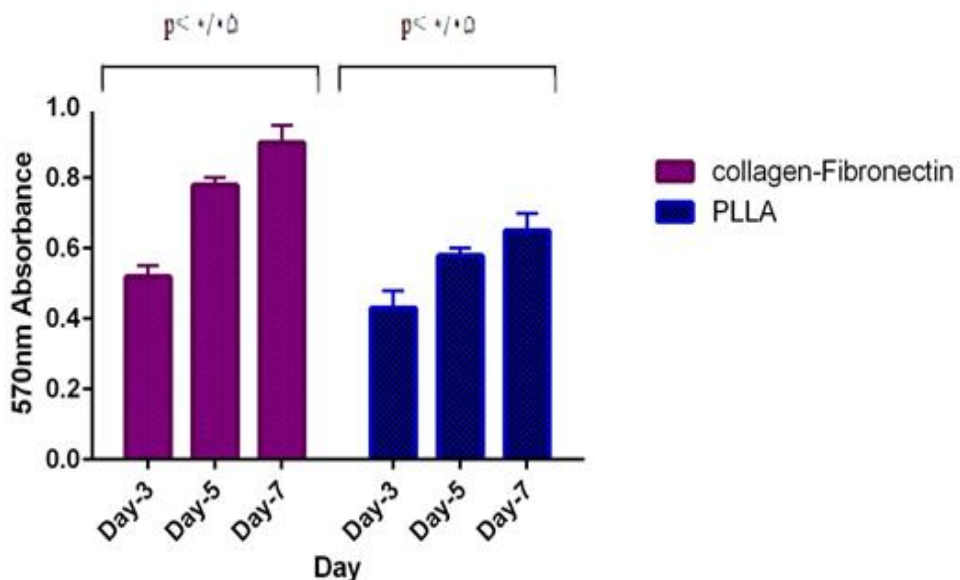


شکل ۳: مقایسه میزان افزایش سلول‌ها در محیط ۲ بعدی و ۳ بعدی در روز ۰ و روز ۷

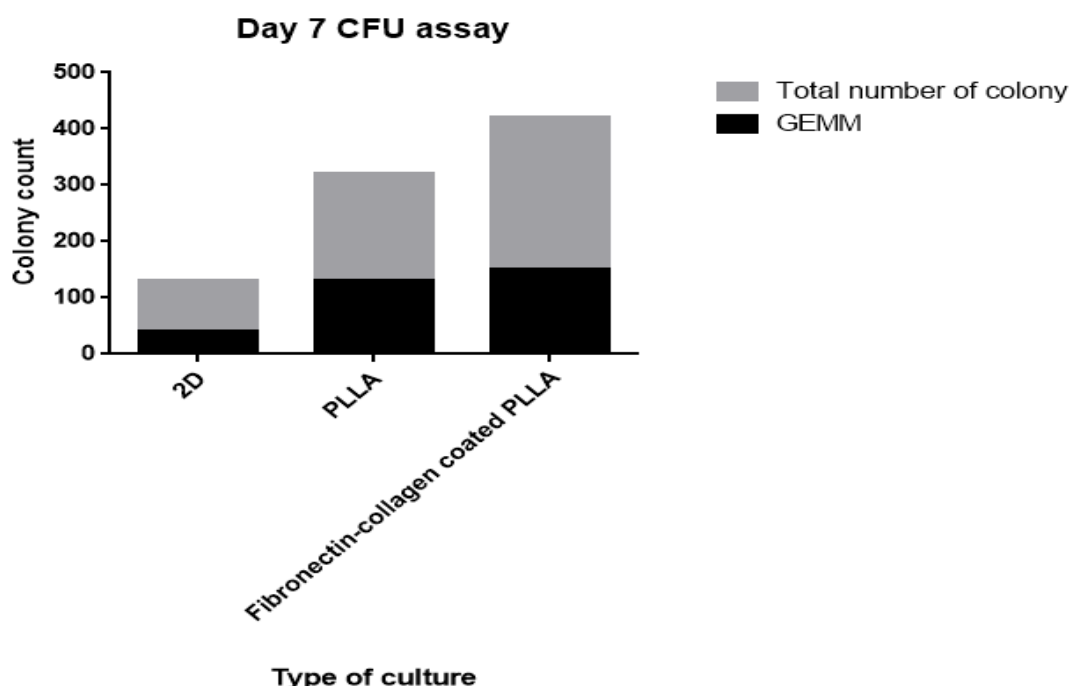
شده با کلاژن-فیرونکتین، داربست فاقد پوشش پروتئینی افزایش یافته که نشان دهنده سازگاری سلول‌ها با داربست سه بعدی است و شرایط تکثیر برای سلول‌ها فراهم است، اما همان طور که شکل ۴ نشان می‌دهد این افزایش در داربست‌های پوشیده شده با کلاژن-

PLLA: همان‌طور که در شکل ۳ نشان داده شده، زیست سازگاری داربست **PLLA** در روزهای ۳، ۵ و ۷ پس از کشتن سلول مورد ارزیابی قرار گرفته است. حیات و بقای سلول‌ها به ترتیب در هر ۳ روز مورد بررسی، در داربست یو-شیده

فیرونکتین به مراتب بیشتر از داریست PLLA فاقد پوشش پروتئینی است ($P < 0.05$) (شکل ۴).



شکل ۴: تست MTT سلول‌های کشت شده بر روی داریست‌های ۳ بعدی: کلاژن-فیرونکتین و PLLA



شکل ۵: مقایسه قدرت کلنی زایی سلول‌های کشت شده بر روی محیط ۳ بعدی و دو بعدی و نسیت کلنی‌های GEMM به کل کلنی‌های تشکیل شده در روز ۷

مقایسه با کشت‌های دو بعدی سریع‌تر تکثیر شده و مهاجرت می‌کنند. به نظر می‌رسد این تفاوت‌ها به علت نزدیکی سلول‌ها به یکدیگر در کشت سه بعدی و شبیه سازی محیط موجود زنده باشد (۱۸). علاوه بر این، عملکرد سلول‌ها در محیط آزمایشگاه شدیداً وابسته به آرایش ترکیبات سلولی و غیر سلولی در مقیاس نانومتر و میکرومتر در ماتریکس خارج ECM سلولی است. همچنین برای حمایت فیزیکی سلول‌ها، ECM طبیعی بستری با لیگاند‌های ویژه را برای حمایت و چسبندگی سلول‌ها فراهم می‌کند و پیام‌هایی را به صورت سیگنال‌های داخل سلولی ایجاد نموده و بر بیان ژن‌ها و رشد و تکثیر سلول‌ها تاثیر می‌گذارد. همچنین تکثیر و عملکرد سلولی را با فاکتورهای رشد متنوع تنظیم می‌کند (۱۹). لذا، طراحی داربست‌های مهندسی شده با پروتئین‌هایی چون فیرونکتین و کلاژن که در ECM نیز یافت می‌شوند بر رشد و تکثیر سلول‌ها تاثیر گذار می‌باشد (۲۰ و ۲۱). در مطالعه‌ی مورد بررسی نیز گسترش سلول‌ها بر روی محیط کشت دو بعدی، داربست سه بعدی PLLA و داربست سه بعدی PLLA پوشیده شده با کلاژن-فیرونکتین مورد بررسی قرار گرفت. نتایج شمارش سلول‌های موجود در مایع روی نشان داد که تعداد سلول‌های شناور در محیط دو بعدی پس از ۷ روز افزایش یافته، اما در محیط سه بعدی تعداد سلول‌های شناور کاهش یافته که استنباط اولیه می‌تواند این باشد که کشت سلول‌ها در محیط سه بعدی باعث کندی تکثیر سلول‌ها شده اما نتایج تست MTT در روزهای ۳، ۵ و ۷ نشان داد که میزان بقای سلول‌های کشت شده در محیط سه بعدی به تدریج افزایش یافته است. این امر موید آن است که میزان تکثیر سلول‌ها در داربست‌های پوشیده شده با پروتئین به مراتب بیشتر از گروه سه بعدی بدون پوشش پروتئینی می‌باشد. از این رو در خصوص افزایش تکثیر در داربست PLLA مهندسی شده با پروتئین می‌توان گفت خصوصیات شیمیایی سطح به اندازه ویژگی‌های توپوگرافی در سرعت

نتایج حاصل از بررسی کلني زايي: به منظور تعیین قدرت کلني زايي CD133+ ها، ۷ روز پس از کشت، آزمون سنجش کلني بر روی سلول‌هایی که در محیط کشت ۳ بعدی و ۲ بعدی کشت شده بودند انجام شد. تعداد کل کلني در محیط سه بعدی پوشیده شده کلاژن-فیرونکتین نسبت به ۲ محیط دیگر بيشتر بود. همچنین تعداد کلني‌های CFU-GEMM که حاوی سلول‌های پرتوان پيشساز رده‌های ميلوئيدی می‌باشد، نسبت به بقиеه کلني‌ها بيشتر بود که اين وضعیت در هر ۳ محیط مورد بررسی به همين صورت بود (شکل ۵).

بحث

پيوند HSC ها يك درمان استاندارد برای بيماري‌های خونی پيشرفته و با خطر بالا است. وجود پيش‌سازهای كافي برای ايجاد يك پيوند موفق به واسطه‌ی پيوند HSC های خون بند ناف در ۳۰ تا ۸۰ درصد کودکان گزارش شده است (۱۶). اما محدود بودن تعداد سلول‌های هسته‌دار موجود در يك واحد UCB، محدوديت در استفاده از اين سلول‌ها در پيوند UCB در بالغين به شمار می‌رود. در اين راستا روش‌های متعددی جهت غلبه بر اين محدودیت پیشنهاد شده که عبارتند از: پيوند همزمان چندین واحد UCB، تزریق همزمان HSC های خون بند ناف همراه با سلول‌های استرومالي مغز استخوان خود بيمار یا فرد اهدا کننده و نهايانا تکثیر و گسترش برون تن HSC ها و سپس تزریق سلول‌های تکثیر شده. از اين رو کشت سلول‌ها بر روی ساختاري سه بعدی، از اين جهت که سلول‌ها در محیطي مشابه با کنام طبیعی خود تکثیر می‌شوند دارای اهمیت بسزایی می‌باشد (۱۷). اخيراً دانشمندان در یافته‌اند که کشت سه بعدی سلول‌ها تغيرات شگفت‌انگيري را در ساختار و عملکرد آن به وجود می‌آورد. کوکریمان و همکاران نشان دادند که فيروblast‌های کشت داده شده در کشت‌های سه بعدی در

فیرونکتین به مراتب بیشتر از محیط سه بعدی و دو بعدی می‌باشد (۲۵). با توجه به نمودارهای شکل ۴ و ۵ مشاهده می‌شود، داربست ۳ بعدی پوشیده شده با کلاژن-فیرونکتین در حفظ بنیادینگی سلول و فعالیت‌ها موثرتر بوده است.

تمامی این مطالعات نشان دهنده‌ی اهمیت تاثیر بستر کشت در تکثیر و تمایز سلول‌های CD133+ می‌باشد. مکانیسم احتمالی برای تاثیرات مشاهده شده سطوح آمینه شده این است که اجزای پروتئینی معینی از محیط کشت را افزایش می‌دهند که بعداً می‌توانند در گسترش سلول‌ها شرکت کنند و یا اینکه گیرنده‌های CD133+ به طور مستقیم با سطوح آمینه برهمکنش می‌دهند. در واقع می‌توان گفت بارهای مثبت لیگاند در این مورد گروه آمینی متصل به سطح می‌توانند با آنتی‌ژن CD133 با بار منفی جفت شوند و پذیرای سلول‌های CD133+ شده و سیگنال‌هایی را جهت رشد و تکثیر آنها فراهم آورند (۲۶). مقایسه‌ی سرعت تکثیر و فاقد گسترش سلول‌های CD133+ PLLA در سطوح پروتئین نیز در مقایسه با محیط دو بعدی روند بهتری را نشان می‌دهد که دلیل عدمه‌ی آن به علت شبیه سازی ساختار سه بعدی نیچ طبیعی سلول‌ها با به کارگیری و استفاده از داربست سه بعدی بر تکثیر سلول‌ها تاثیر بسزایی داشته است. شکل ۳، مقایسه‌ی میزان افزایش سلول‌ها در محیط دو بعدی و سه بعدی را نشان می‌دهد، این افزایش در گروه سه بعدی به دلیل توپوگرافی بستر به مراتب بیشتر می‌باشد.

بنابراین حتی اگر اهمیت خصوصیات بیوشیمی بستر را نیز نادیده بگیریم، توپوگرافی بستری که تداعی‌کننده شبکه‌ی تور مانند سه بعدی پیچیده‌ی ریز محیط مغز استخوان می‌باشد در تنظیم عملکرد سلول‌های CD133+ از قبیل خودنوزایی، تکثیر و انتخاب سرنوشت تاثیر گذار است.

نتیجه گیری

نتایج این مطالعه نشان دهنده‌ی این است که پوشاندن

تکثیر HSC‌ها و گسترش سلول‌های CD133+ اهمیت دارد. همچنین با توجه به درصد خلوص قبل از کشت (۹۳ درصد) و بعد از ۷ روز کشت بر روی داربست‌های PLLA پوشیده شده با کلاژن-فیرونکتین (۷۸/۲ درصد)، داربست مشخص شد که سلول‌های گسترش بر روی داربست‌های PLLA پوشیده شده با کلاژن-فیرونکتین، از لحاظ فراهم‌آوری موثرتر بوده‌اند. تعداد سلول‌های ناکارآمد شده نیز بر با در نظر گرفتن تعداد سلول‌های اولیه و درصد خلوص قابل محاسبه است (شکل ۲). لیو و همکاران نیز نشان دادند که کشت سه بعدی سلول‌های بنیادی موشی بر داربست‌های فیبرینی و فیبرین همراه با پلی اتیلن گلیکول ممکن است بر بیان نشانگرهای بنیادینگی تاثیر بگذارد (۲۲). لی و همکارانش طی پژوهش‌های خود دریافتند که کشت روی ماتریکس‌های پلی استر nonwoven برهمکنش‌های سلول-سلول و سلول-ماتریکس، گسترش سلول‌های استرومایی و سلول‌های خونساز را افزایش می‌دهد. غیر متحرک کردن سطح کووالانسی پروتئین‌های ECM از قبیل فیرونکتین به چسبندگی سلول‌های HSC به بستر کمک می‌کند و گسترش این سلول‌ها را افزایش می‌دهد (۲۳). چوا و همکارانش نیز گسترش HSC‌های بند ناف انسانی را در سطوح عمل آوری شده با لایه‌های پلی اتر سولفون (PES) و شبکه‌های نانو رشته‌ای PES آزمایش کردند. آنها مشاهده کردند که از بین سطوح PES کربوکسیله شده، آمینه شده و سطح پلی استر کشت بافت، PES آمینه شده بالاترین کارآیی را برای گسترش سلول‌های CD34+ و CD45+ و پتانسیل تولید کلینی دارا بود. شبکه‌ی نانو رشته‌ای آمینه شده، همچنین، چسبندگی بستر-HSC و گسترش کلونی‌های چند دودمانی (CFU-GEMM) تشکیل دهنده سلول‌های پیش‌ساز را افزایش می‌دهند (۲۴). در مطالعه‌ی پیش رو نیز کلونی‌های GEMM در سطوح سه بعدی پوشانده شده با کلاژن-

محیط خارج از بدن فراهم می‌آورد.

داریست سه بعدی PLLA با کلاژن-فیبرونکتین، سیستم مناسی را به منظور تکثیر سلول‌ها با حداقل تمایز در

References

- 1- Wilson A, Trumpp A. Bone-marrow haematopoietic-stem-cell niches. *Nat Rev Immunol.* 2006; 6: 93-106.
- 2- Nagasawa T, Hirota S, Tachibana K, et al. Defects of B-cell lymphopoiesis and bone-marrow myelopoiesis in mice lacking the CXC chemokine PBSF/SDF-1. *Nature.* 1996; 382: 635-8.
- 3- Mehta R, Rezvani K, Olson B, et al. Novel techniques for ex vivo expansion of cord blood: Clinical Trials. *Front Med.* 2015; 2: 89.
- 4- Mousavi SH, Abroun S, Soleimani M, Molwa SJ, et al. Expansion of human cord blood hematopoietic stem/progenitor cells in three-dimensional Nanoscaffold coated with Fibronectin. *Int J Hematol Oncol Stem Cell Res.* 2015; 9: 72-79.
- 5- Eskandari F, Allahverdi A, Nasiri H, et al. Nanofiber expansion of umbilical cord blood hematopoietic stem cells. *Iran J Pediat Hematol Oncol.* 2015; 5: 170-78.
- 6- Bertolini F, Battaglia M, Lanza A, et al. Stem cell enumeration in cord blood vs bone marrow and peripheral blood. *Bone Marrow Transplant.* 1998; 1: S57.
- 7- Dravid G, Rao S. Ex vivo expansion of stem cells from umbilical cord blood: expression of cell adhesion molecules. *Stem Cells.* 2002; 20: 183-89.
- 8- Lu J, Aggarwal R, Pompili VJ, Das H. A novel technology for hematopoietic stem cell expansion using combination of nanofiber and growth factors. *Recent Pat Nanotechnol.* 2010; 4: 125-35.
- 9- Liu HC, Lee IC, Wang JH, Yang SH, Young TH. Preparation of plla membranes with different morphologies for culture of ligament cells. *Biomaterials.* 2004; 25: 4047-56.
- 10- Ma Z, C Gao, J Shen. Surface modification of poly-L-lactic acid (PLLA) membrane by grafting acrylamide: an effective way to improve cytocompatibility for chondrocytes. *J Biomater Sci Polym Ed.* 2003; 14: 13-25.
- 11- Islami M, Mortazavi Y, Soleimani M, Nadri S. In vitro expansion of CD 133+ cells derived from umbilical cord blood in poly-L-lactic acid(PLLA) scaffold coated with fibronectin and collagen. *Artif Cells Nanomed Biotechnol.* 2018;46: 1025-33.
- 12- Mokhtari S, Baptisat P, Vyas D, et al. A new approach to expand cord blood derived hematopoietic stem cells, using bioengineered human fetal liver tissue 3D-constructs. *Blood.* 2015. 126: 3097.
- 13- Mansourizadeh F, Asadi A, Oryan SH, Nematollahzadeh A, Dodel M, Asghavi M. PLLA/HA Nano composite scaffolds for stem cell proliferation and differentiation in tissue

- engineering. *Molecular Biol Res Communicat.* 2013; 2: 1-10.
- 14- Dubey G, Mequanint K. Conjugation of fibronectin onto three-dimensional porous scaffolds for vascular tissue engineering applications. *Acta Biomaterialia.* 2011; 7: 1114-25.
- 15- Colombo E, Calcaterra F, Cappelletti M, Marilio D, Dell Bella S, et al. Comparison of fibronectin and collagen in supporting the isolation and expansion of endothelial progenitor cells from human adult peripheral blood. *PLoS One.* 2013; 8: e66734.
- 16- Walasek MA, Van OSR, De Haan G. Hematopoietic stem cell expansion: challenges and opportunities. *Ann N Y Acad Sci.* 2012. 1266: 138-50.
- 17- Carletti E, Motta A, Migliaresi C. Scaffolds for tissue engineering and 3D cell culture. *Methods Mol Biol.* 2011. 695: 17-39.
- 18- Serebriiskii I, Castell-Cros R, Lamb A Golemis EA, Cukierman E, et al. Fibroblast-derived 3D matrix differentially regulates the growth and drug-responsiveness of human cancer cells. *Matrix biol.* 2008; 27: 573-85.
- 19- Celebi B, Mantovani D, Pineault N, Effects of extracellular matrix proteins on the growth of haematopoietic progenitor cells. *Biomed Mater.* 2011; 6: 055011.
- 20- Connor NS, Aubin JE, Sodek J, Independent expression of type I collagen and fibronectin by normal fibroblast-like cells. *J Cell Sci.* 1983; 63: 233-44.
- 21- Klamer S, Voermans C. The role of novel and known extracellular matrix and adhesion molecules in the homeostatic and regenerative bone marrow microenvironment. *Cell Adh Migr.* 2014; 8: 563-77.
- 22- Liu H, Lin J, Roy K. Effect of 3D scaffold and dynamic culture condition on the global gene expression profile of mouse embryonic stem cells. *Biomaterials.* 2006; 27: 5978-89.
- 23- Zheng Li, Zhen XU, Yingjun Liu, Wan R, Gao CH. Multifunctional non-woven fabrics of interfused graphene fibres. *Nature Communicate.* 2016; 7: 13684.
- 24- Chua KN, Char C, Lee PC, et al. Surface-aminated electrospun nanofibers enhance adhesion and expansion of human umbilical cord blood hematopoietic stem/progenitor cells. *Biomaterials.* 2006; 27: 6043-51.
- 25- Mc Carthy J, Turley EA. Effects of extracellular matrix components on cell locomotion. *Crit Rev Oral Biol Med.* 1993; 4: 619-37.
- 26- Hernandez T, Esparza M, Perez AB, et al. A study of CD33 (SIGLEC-3) antigen expression and function on activated human T and NK cells: two isoforms of CD33 are generated by alternative splicing. *J Leukoc Biol.* 2006; 79: 46-58.

Ex Vivo Expansion of Umbilical Cord Blood Hematopoietic Stem Cells on Collagen- Fibronectin Coated Electrospun Nano Scaffold

Islami M¹, Mortazavi Y^{1,2}, Soleimani M³, Soleimanifar F⁴, Nadri S¹, Hosseinzadeh S⁵, Darvish M⁶

¹Dept of Medical Biotechnology and Nanotechnology, Faculty of Medicine, Zanjan University of Medical Sciences, Zanjan, Iran

²Cancer Gene Therapy Research Center, Zanjan University of Medical Sciences, Zanjan, Iran

³Dept.of Hematology, Tarbiat Modares University, Tehran, Iran

⁴Dietary and Supplements Probiotic Research Center, Alborz University of Medical Sciences, Karaj Iran

⁵Dept. of Tissue Engineering and Regenerative Medicine, Faculty of Advanced Technologies in Medicine, Shahidbeheshti University of Medical Sciences, Tehran, Iran.

⁶Dept. of Medical Biotechnology, Fculty of Medicine, Arak University of Medical Sciences, Arak, Iran

Corresponding Author: Mortazavi Y, Dept of Medical Biotechnology and Nanotechnology, Faculty of Medicine, Zanjan University of Medical Sciences, Zanjan, Iran

E-mail: youmort@yahoo.com

Received: 19 Sep 2017 **Accepted:** 28 Apr 2018

Background and Objective: Umbilical Cord blood (UCB) hematopoietic stem cell (HSC) transplantation is a therapeutic approach for the treatment of malignant and non-malignant hematologic disorders due to ease of collection, lack of risk for donors and lower levels of infection. Moreover, it is considered a good alternative for bone marrow HSC transplantation. The main limitation of their use is insufficient amount of HSCs due to low volume of blood collected from umbilical cord. A possible solution to overcome this limitation may be the in vitro expansion of these cells on 3D nanofiber scaffolds, with the goal of natural niche's topography and chemistry mimicking.

Materials and Methods: In this study, MACS isolated CD133+ cells were confirmed via flow cytometry and then cultured in three conditions: 2-dimensional culture (2D), 3D PLLA scaffold and collagen-fibronectin coated PLLA scaffold.

Results: Comparison between three aforementioned groups showed that collagen-fibronectin coated scaffold had the highest expansion level CD133+ cells, while also having the highest clonogenic capacity and biocompatibility.

Conclusion: The results of this study showed that the protein coating of 3D PLLA scaffold with collagen-fibronectin provides a suitable system for the expansion of cells with minimal differentiation in vitro.

Keywords: *CD133+, Cord blood, PLLA, 3D Culture, Hematopoietic Stem Cells*